

東北大学 正会員 松本慎一郎  
東北大学 正会員 高橋英夫

## 1. はじめに

海内の汚染浄化は、物理的、化学的、生物的因素が複雑に関連したプロセスの下で行なわれるものと考えられる。本報告は生物的因素をすべて消去した形で行なつて、すなはち酸素吸収速度を恒速であるものは「乱れ」であると仮定されながら、「乱れ」と酸素移動係数との相互の関係を明らかにすることは複雑な問題であるともいふべきことなど、また明らかにすることはがり非常に困難な問題であると認められるが、この点明らかにすることは必ずしも必要である。特に海の場合には波といふ複雑な流体運動があり、実験室的スケールではその流体運動の起因化は比較的容易に行なえども、それはさうか。つまりは対象を含め、ファン付造波水槽を用いて、そこで得られた水理量と酸素移動係数との関係を調べた。

## 2. 実験装置および方法

実験装置の略図を図-1に示す。使用した水は淡水を用い、酸素には窒素ガスを用いた。水槽内の溶存酸素を約200cmまで下げ、逆灌板面E(1500cm)を作用し、バッファ液存酸素計に記録紙を接続して溶存酸素経時変化を記録した。測定および撮影は写真撮影を行ひ、得られたフィルムを拡大撮影して求めた。同時に理論式から計算を行つた。距離は水面上5cm位置で測定したのである。

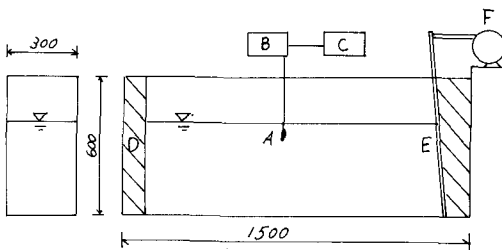


図-1 実験装置

A;ポンプ B;溶存酸素計 C;記録計  
D;消波装置 E;逆灌板 F;モーター

## 3. 結果および考察

酸素移動係数K<sub>L</sub>は水理量によっては、波長(L)、波高(H)、水深(h)、波速(C)、周期(T)、粒径(D)、重力加速度(g)、密度(ρ)が決つた。次元解析を行つて以下の方程式を得る。本装置で作られた波は、微小振幅波であり深海波ではないことを考慮した。

$$\sqrt{\frac{gT}{2\pi}} K_L = C \left( \frac{h}{H} \right)^a \left( \frac{gL}{2\pi D} \frac{H^2}{C} \right)^b \left( \frac{H}{L} \right)^c$$

ここで、K<sub>L</sub>; 酸素移動係数 C; 構数 a, b, c; 指数; h; 水深; H; 波高; L; 波長; g; 重力加速度; T; 周期; D; 粒径; C; 波速。本装置で得られた結果は、無次元項を除くと、範囲で成り立つた。本装置で得られた結果は、実験値と計算値によつてよく一致するが、これは装置の不純物を考慮したことによる。

実験結果を図-2, 3, 4に示す。図-2は一部

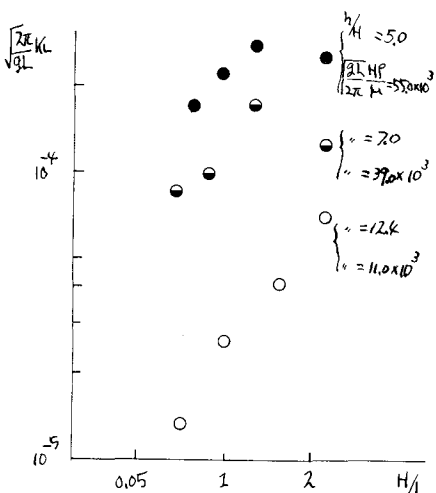
表-1である。

(1)  $\sqrt{\frac{gT}{2\pi}} K_L \propto \frac{1}{H} H^2$  の関係を図-2に示す。最小二乗法によつて直線の傾きを求めて平均して 0.97 を求めた。

（2）  $K_L \propto \frac{1}{H} H^2$  の関係を用いて計算して得られた結果を図-2に示す。

表-1

P(cm)	L(cm)	H(cm)	K <sub>L</sub> (cal/cm <sup>2</sup> )	K <sub>L</sub> (cm <sup>3</sup> /hr)	$\sqrt{\frac{gT}{2\pi}} K_L$	$h/H(-)$	$\frac{g}{2\pi} \frac{H^2}{C}$	H/L(-)
20	25	4	2.57	50.0	$2.2 \times 10^{-6}$	5.0	$250 \times 10^3$	0.16
30	25	4	1.69	49.3	$2.2 \times 10^{-6}$	7.5	"	"
40	25	4	0.96	37.4	$1.7 \times 10^{-6}$	10.0	"	"
20	15	2	0.69	13.6	$3.8 \times 10^{-6}$	10.0	$97 \times 10^3$	0.13
30	15	2	0.38	11.2	$2.2 \times 10^{-6}$	15.0	"	"
40	15	2	0.27	10.7	$1.6 \times 10^{-6}$	20.0	"	"



25	40	3	1.02	25.6	$9.0 \times 10^{-5}$	8.3	$23.7 \times 10^3$	0.08
35	40	3	0.74	26.0	$9.1 \times 10^{-5}$	11.7	"	"
45	40	3	0.48	21.8	$7.7 \times 10^{-5}$	15.0	"	"
22	25	1.8	0.134	2.94	$1.3 \times 10^{-5}$	12.4	$11.0 \times 10^3$	0.072
25	20	2.0	0.215	5.30	$2.6 \times 10^{-5}$	"	"	0.10
29	15	2.3	0.257	7.11	$4.1 \times 10^{-5}$	"	"	0.153
29	60	4.0	1.068	29.7	$8.5 \times 10^{-5}$	7.0	$3.8 \times 10^3$	0.068
31	50	4.5	1.012	31.4	$9.8 \times 10^{-5}$	"	"	0.089
35	40	5.0	1.445	48.2	$1.69 \times 10^{-4}$	"	"	0.125
26.5	70	5.3	2.49	64.2	$1.67 \times 10^{-4}$	5.0	$5.5 \times 10^3$	0.0756
29	60	5.7	2.72	75.4	$2.15 \times 10^{-4}$	"	"	0.0952
31	50	6.3	2.95	88.4	$2.7 \times 10^{-4}$	"	"	0.1252

図-3  $\sqrt{\frac{2\pi}{g}} \frac{H_L}{L} \times H_L \times 10^4$  関係

(a)  $\sqrt{\frac{2\pi}{g}} \frac{H_L}{L} \times H_L \times 10^4$  関係を図-3に示す。三つの直線は9回配り、平均値は約4.783。

(b)  $\sqrt{\frac{2\pi}{g}} \frac{H_L}{L} \times H_L \times 10^4$  関係を図-4に示す。直線は9範囲125回引かれ、傾きが異なっている。

以上9回実験が終了した。各回は9回の結果を用いて、風波と波浪の相対的意味と十分確認し同時に、洋面上の実験データが準備である。また、風と波が同時に作用する場合(2, 4, 6)と水槽内の場合は、風浪比で表す。

安定度と波の水槽内改変(今後研究)を1.4%で243。

